

- [2] С. М. Рывкин. Фотоэлектрические явления в полупроводниках, 496. М. (1963).
- [3] D. L. Polla, A. K. Sood. J. Appl. Phys., 51, 4908 (1980).
- [4] А. В. Войцеховский, Ю. В. Лиленко, Л. Н. Лимаренко, Е. П. Лопатинская. Матер. V Всес. симп. по полупроводникам с узкой запрещенной зоной и полуметаллам, 111. Львов (1980).
- [5] А. В. Войцеховский, А. П. Коханенко, Ю. В. Лиленко, А. С. Петров. ФТП, 15, 676 (1981).
- [6] А. В. Войцеховский, А. П. Коханенко, Ю. В. Лиленко, А. С. Петров, В. И. Стафеев. ФТП, 15, 1606 (1981).
- [7] А. В. Войцеховский, Ю. В. Лиленко. ФТП, 15, 1457 (1981).
- [8] D. L. Polla, C. E. Jones. J. Appl. Phys., 52, 5118 (1981).
- [9] D. L. Polla, M. B. Reine, C. E. Jones. J. Appl. Phys., 52, 5132 (1981).
- [10] D. L. Polla, S. P. Tobin, M. B. Reine, A. K. Sood. J. Appl. Phys., 52, 5182 (1981).
- [11] C. E. Jones, V. Nair, D. L. Polla. Appl. Phys. Lett., 39, 248 (1981).
- [12] J. A. Mroczkowski, J. F. Shanley, M. B. Reine, P. Lo Vecchio, D. L. Polla. Appl. Phys. Lett., 38, 261 (1981).
- [13] S. E. Schacham, E. Finkman. J. Appl. Phys., 57, 2001 (1985).
- [14] Н. С. Барышев, М. И. Ибрагимова, И. Б. Хайбуллин. Матер. VII Всес. симп. по полупроводникам с узкой запрещенной зоной и полуметаллам, 54. Львов (1986):
- [15] В. Г. Савицкий, В. К. Писаревский, М. И. Лозинская. Матер. VII Всес. симп. по полупроводникам с узкой запрещенной зоной и полуметаллам, 153. Львов (1986).

Редактор: Л. В. Шаронова

ФТП, том 26, вып. 10, 1992

## ИНТЕРПРЕТАЦИЯ НЕРАВНОВЕСНЫХ ЕМКОСТНЫХ СПЕКТРОВ А-ЦЕНТРОВ, ВВОДИМЫХ ПРИ ИМПУЛЬСНОЙ ФОТОННОЙ ОБРАБОТКЕ КРЕМНИЯ

В. И. Беляевский, Ю. А. Капустин, В. В. Свиридов

Воронежский государственный педагогический институт, 396611, Воронеж, Россия  
(Получено 1.10.1991. Принято к печати 27.04.1992)

Обнаруженные впервые в экспериментах по исследованию ЭПР в кремнии, облученном частицами высоких энергий, комплексы кислород—вакансия (*A*-центры [<sup>1</sup>]) имеют энергию ионизации 0.17 эВ, сечение захвата электрона около  $10^{-14}$  см<sup>2</sup> и энергию отжига 1.1—1.7 эВ [<sup>2, 3</sup>]. Многочисленные исследования *A*-центров методом нестационарной емкостной спектроскопии глубоких уровней (НЕСГУ) показали, что обусловленный ими максимум в спектре НЕСГУ находится при температуре 80 К для времени релаксации 10 мс [<sup>4</sup>]. Импульсная фотонная обработка (ИФО) излучением ксеноновых ламп с плотностью потока  $\sim 10^2$  Вт/см<sup>2</sup> и длительностью импульса  $\sim 0.1$  с приводит к образованию глубоких центров с энергией термоионизации, сечением захвата и энергией диссоциации такими же, что и у *A*-центров [<sup>4</sup>]. Сравнение данных [<sup>2</sup>] и [<sup>4</sup>] приводится на рисунке.

Возникающим при ИФО центрам (локализованным в приповерхностном слое толщиной  $\sim 1$  мкм) в отличие от *A*-центров, создаваемых облучением частицами высоких энергий, соответствует максимум НЕСГУ при температуре около 200 К при том же времени релаксации. Поэтому вывод об идентичности этих центров, в пользу которого, кроме совпадения основных параметров, свидетельствует их возникновение в результате механической обработки поверхности [<sup>5</sup>] и при окислении [<sup>6</sup>], а также анализ процесса их образования [<sup>7</sup>], требует дополнительной аргументации, которая приводится в настоящей работе.

Энергия термоионизации электрона с глубокого уровня в зону проводимости может быть определена как химический потенциал, т. е. потенциал Гиббса *G* в расчете на один электрон [<sup>8, 9</sup>]. Принцип детального

равновесия позволяет связать скорость термоэмиссии электрона с глубокого центра (равную обратному значению времени релаксации  $\tau$ ) и сечение захвата электрона из зоны проводимости на глубокий центр,  $\sigma_n$ , с изменением потенциала Гиббса  $\Delta G$ :

$$\tau = (\sigma_n \langle v_n \rangle N_c)^{-1} \exp(\Delta G / kT), \quad (1)$$

где  $\langle v_n \rangle$  и  $N_c$  — средняя тепловая скорость и эффективная плотность состояний электронов  $[^8, ^9]$ . Предэкспоненциальный множитель в (1) степенным образом зависит от температуры:  $\tau_0 = (\sigma_n \langle v_n \rangle N_c)^{-1} = (\sigma_n b_n T^2)^{-1}$ , где, в случае n-Si, постоянная  $b_n = 6.6 \cdot 10^{21} \text{ c}^{-1} \cdot \text{см}^{-2} \text{ K}^{-2}$   $[^{10}]$ .

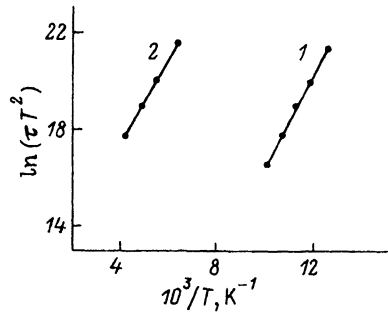
Нередко зависимостью химического потенциала  $\Delta G$  от температуры и напряженного состояния кристалла можно пренебречь  $[^{11}]$ , тогда как в ряде случаев такое пренебрежение не оправдано. Так, наблюдавшаяся в  $[^{12}]$  линейная зависимость  $\Delta G$  от температуры и гидростатического сжатия приводит к изменению предэкспоненты  $\tau_0$  на так называемый энтропийный фактор  $[^8, ^9]$ . Различными значениями этого фактора для дефектов, возникающих при ИФО и при облучении частицами высоких энергий, можно, как показывается далее, объяснить существенную разницу в температурах наблюдаемых пиков НЕСГУ.

Полагая, что как при облучении кремния частицами высоких энергий, так и при ИФО возникают комплексы кислород—вакансия, приходится считать, что, собственно, энтропия ионизации  $[^8, ^9]$  подобного комплекса в обоих случаях одна и та же. Однако множествоное возбуждение химических связей в приповерхностном слое во время ИФО  $[^{4, 7}]$  приводит к увеличению скорости диффузионных процессов  $[^{13, 14}]$  и, следовательно, к более эффективной релаксации внутренних напряжений, возникающих из-за несоответствия параметров решеток кремния и пленки естественного окисла на поверхности образца. Закалки термических напряжений при ИФО не происходит как ввиду практически однородного распределения температур в пластине, так и ввиду медленного (1 мин) охлаждения после импульсов, которые нагревали пластину не более чем до 500 °C. На основании этого мы полагаем, что образцы, подвергнутые ИФО, в отличие от обычных практически свободны от напряжений в приповерхностном слое. Поэтому учет уровня напряжений при анализе термоионизации A-центров в данном случае весьма существен.

Хотя в общем случае напряженное состояние в приповерхностном слое существенно неоднородно и отнюдь не сводится к всестороннему растяжению или сжатию, в дальнейшем в целях упрощения анализа уровень внутренних напряжений будет характеризоваться единственным скалярным параметром  $P$ . Так как изменение химического потенциала  $\Delta G = \Delta G(P, T)$ , его можно разложить в ряд Тейлора по абсолютной температуре при данном  $P$ , ограничившись при этом первыми двумя членами:

$$\Delta G' = \Delta G(P, 0) + T \left( \frac{\partial \Delta G(P, 0)}{\partial T} \right). \quad (2)$$

Члены более высоких порядков по  $T$  приводили бы к температурной зависимости, определяемой по аррениусовскому графику энергии ионизации, чего в эксперименте не наблюдается  $[^{12}]$ . Первое слагаемое в (2), как нетрудно видеть,



совпадает с изменением энталпии  $\Delta H$  (с энталпией активации) при  $T = 0$ . Энталпия активации по определению есть количество теплоты, получаемой центром от термостата при термоионизации. В отсутствие напряжений  $\Delta H = \Delta U + P\Delta V$  совпадает с изменением внутренней энергии  $\Delta U$ , в случае же  $P \neq 0$  значение  $\Delta U$  изменяется как раз на величину работы  $PV^*$ , производимой внешними напряжениями (здесь  $V^*$  — активационный объем). Таким образом, энталпия активации при  $T = 0$  не зависит от  $P$ ; именно эта величина [первое слагаемое в (2)] определяет экспоненциальную зависимость времени релаксации (1) от температуры. Как при ИФО, так и в случае облучения частицами высоких энергий эта величина одна и та же:  $\Delta G(P, 0) = 0.17$  эВ.

Нетрудно убедиться в том, что в линейном по  $P$  приближении второе слагаемое в (2) может быть представлено в виде

$$\left( \frac{\partial \Delta G(P, 0)}{\partial T} \right)_P = TP \left( \frac{\partial V^*}{\partial T} \right)_{T=0, P=0} \quad (3)$$

и, таким образом, приводит к появлению в (1) множителя

$$\eta = \exp \left[ \frac{P}{k} \left( \frac{\partial V^*}{\partial T} \right)_{T=0, P=0} \right], \quad (4)$$

зависящего, в соответствии со сделанными предположениями, от условий возникновения  $A$ -центров.

Если предположить, что ИФО приводит к практически полной релаксации внутренних напряжений, то в соответствии с экспериментальными данными [<sup>2, 4</sup>]  $\ln \eta \sim 13$ . Полагая, что  $P \sim \lambda \varepsilon$ , где  $\lambda$  — модуль упругости, а  $\varepsilon \sim 1\%$  [<sup>6, 15</sup>] — средняя деформация решетки кремния из-за несоответствия параметров решетки Si и  $\text{SiO}_2$ , получаем оценку для  $\partial V^*/\partial T \sim 2 \cdot 10^{-2}$   $\text{Å}^3/\text{К}$ , что совпадает с известным значением температурного коэффициента активационного объема для ионизации  $A$ -центров [<sup>12</sup>].

Таким образом, можно сделать вывод, что определенные режимы ИФО могут приводить к снижению уровня внутренних напряжений в приповерхностной области кремния. Это позволяет объяснить также, почему ИФО не приводит к видимому изменению степени ориентационного вырождения максимумов НЕСГУ, которое наблюдалось в [<sup>16</sup>] при воздействии одноосного напряжения  $\sim 1$  ГПа сверх имеющихся в образце напряжений.

## СПИСОК ЛИТЕРАТУРЫ

- [1] G. D. Watkins, J. W. Corbett. Phys. Rev., **121**, 1001 (1961).
- [2] L. C. Kimerling. Radiat. Eff. Semiconf. Conf. Ser., **31**, 221 (1977).
- [3] Ж. Бургун, М. Ланно. Точечные дефекты в полупроводниках. Экспериментальные аспекты, 304. М. (1985).
- [4] Ю. А. Капустин, Б. М. Колокольников, А. А. Свешников, В. П. Злобин. ФТП, **22**, 1708 (1988).
- [5] Ю. А. Капустин, Б. М. Колокольников, Г. И. Котов, А. В. Медведков. ФТП, **24**, 871 (1990).
- [6] В. Г. Литовченко, А. П. Горбань. Основы физики микроэлектронных систем металл—диэлектрик—полупроводник, 316. Киев (1978).
- [7] В. И. Беляевский, Ю. А. Капустин, В. В. Свиридов. ФТП, **25**, 1204 (1991).
- [8] J. A. van Vechten, C. D. Thuyghof. Phys. Rev. B, **14**, 3539 (1976).
- [9] D. V. Lang, H. G. Grimmeiss, E. Meijer, M. Jaros. Phys. Rev. B, **22**, 3917 (1980).
- [10] Л. С. Берман, А. А. Лебедев. Емкостная спектроскопия глубоких центров в полупроводниках. Л. (1981).
- [11] В. Л. Бонч-Бруевич, С. Г. Калашников. Физика полупроводников, 672. М. (1977).
- [12] G. Samara, C. Barnes. Phys. Rev. Lett., **57**, 2069 (1986).
- [13] Ю. А. Капустин, Б. М. Колокольников, А. А. Свешников. ФТП, **24**, 318 (1990).
- [14] С. С. Глебов, В. В. Егоров, Ю. А. Капустин, Б. М. Колокольников, А. А. Свешников. ФТП, **24**, 1689 (1990).

[15] Технология СБИС (под ред. С. Зи), кн. 1, 404. М. (1987).

[16] C. D. Lamp, J. M. Farmer, J. M. Meese. Rev. Sci. Instrum., 55, 210 (1984).

Редактор: Л. В. Шаронова

ФТП, том 26, вып. 10, 1992

## МОДИФИКАЦИЯ КОЭФФИЦИЕНТА ОТРАЖЕНИЯ ПОЛУПРОВОДНИКОВ $A^mB^v$ ПРИ ИМПУЛЬСНОМ ЛАЗЕРНОМ ОБЛУЧЕНИИ

П. К. Кашкаров, М. В. Русина, В. Ю. Тимошенко

Московский государственный университет им. М. В. Ломоносова, 119899, Москва, Россия  
(Получено 21.04.1992. Принято к печати 27.04.1992)

Известно, что импульсное лазерное облучение (ИЛО) полупроводников в условиях межзонного поглощения может вызвать структурные перестройки в приповерхностной области [1]. Одним из основных критериев протекания таких процессов, как инициированные ИЛО плавление, кристаллизация или аморфизация, является изменение коэффициента отражения [2, 3]. В настоящее время в литературе нет полной ясности о влиянии лазерного облучения на оптические характеристики полупроводниковых соединений.

В данной работе изучалось влияние ИЛО на коэффициент отражения полупроводников группы  $A^mB^v$  (GaAs, InP, InAs) и Ge (для сравнения). Проводилось наблюдение динамики изменения коэффициента отражения  $R(t)$  в процессе действия лазерного импульса по известной схеме регистрации фазы повышенного отражения [2–4]. Основное внимание, однако, уделялось измерению стационарного коэффициента отражения  $R$  непосредственно до и сразу после лазерного воздействия. Измерения проводились на двух длинах волн ( $\lambda_1 = 488$  и  $\lambda_2 = 633$  нм) в вакууме ( $10^{-3} \div 10^{-4}$  Па) или при одном и том же давлении ( $P = 1$  атм) на воздухе, в кислороде ( $O_2$ ) или азоте ( $N_2$ ). Исходная температура кристаллов была 300 К.

При регистрации ФПО были зафиксированы зависимости, в целом идентичные представленным в нашей работе [4]. Влияние условий облучения (вакуум или газовая среда) было незначительным. Определенные на основе зависимостей  $R(t)$  пороговые плотности энергии  $W_m$ , соответствующие началу плавления поверхности полупроводника, для изучаемых материалов представлены в таблице. В дальнейшем, ориентируясь на измеренные пороги плавления, мы рассмотрим прежде всего изменения стационарного коэффициента отражения  $R$ .

Было установлено, что относительные изменения  $R$  после ИЛО были одинаковы при зондировании на  $\lambda_1$  и  $\lambda_2$ , однако зависели от условий ИЛО. Для GaAs первые изменения  $R$  фиксируются после ИЛО с  $W > 180\text{--}200$  мДж/см<sup>2</sup>, т. е. происходят при превышении порога плавления  $W_m$  (рис. 1, кривые 1 и 2). Однако облучение на воздухе или в газах приводит лишь к деградации  $R$  (кривая

Измеренные пороги плавления  $W_m$  и разрушения  $W_d$ , а также из [5] данные о давлении  $P_0$

Параметр	InP	GaAs	InAs	Ge
$W_m$ , мДж/см <sup>2</sup>	120	160	90	160
$W_d$ , мДж/см <sup>2</sup>	500	650	480	>800
$P_0$ , атм	~30	1	0.33	$8 \cdot 10^{-10}$